

# 岩質材料の引張強度に及ぼす結晶粒径の影響について

京都大学 工学部 正員 丹羽義次  
 京都大学 工学部 正員 小林昭一  
 京都大学 大学院 学生員 福井卓雄

## 1. はじめに

粗粒の岩石とかコンクリートのさうな微視的構造特性が卓越した材料の破壊強度、特に引張破壊強度は、構造組織の影響を受けることが知られています。従来、弹性論による解析における影響を考慮するところが困難である。最近発展してきた micro-elasticity は微視的構造特性を考慮して導かれた理論であり、構造組織が卓越した材料の破壊にも十分適用できると考えられる。本報では Mindlin によって提案された couple-stress 理論を用いて円筒供試体すらびに円孔周辺の応力状態を解析し、これを基に構造組織の影響を考察し、実験結果と解説を試みたものである。

## 2. 基礎方程式と一般解

couple-stress 理論に関する基礎方程式は以下のようになる。

$$\text{構成方程式} \quad T^{\alpha\beta} = G [ (u^\alpha|^\beta + u^\beta|^\alpha) + \frac{2\nu}{1-2\nu} q^{\alpha\beta} u^\delta|_\delta ] \\ m^\alpha = 4G l^2 \omega|^\alpha = 4G l^2 K^\alpha$$

$$\text{釣り合い方程式} \quad T^{\alpha\beta}|_\alpha = 0$$

$$m^\alpha|_\alpha + \varepsilon^{\alpha\beta} T_{\beta\gamma}|_\alpha = 0$$

$$\text{適合条件式} \quad \varepsilon^{\alpha\beta} \varepsilon^{\beta\gamma} d_{\alpha\gamma}|_\alpha = 0$$

$$\varepsilon^{\alpha\beta} K_\alpha|_\beta = 0$$

以上式において、 $T$ 、 $m$  は Cauchy 応力および couple-stress、 $d_{\alpha\beta}$  は変位テンソル。  
 $G$ 、 $\nu$ 、 $l$  はせん断弾性係数、ポアソン比、長さの次元を持つ材料定数。 $q^{\alpha\beta}$ 、 $\varepsilon^{\alpha\beta}$   
 は metric tensor および permutation tensor。 $u^\alpha|_\beta$  等は曲線座標  $x^\alpha$  による共変微分  
 である。

## 基礎式と一般解(平面ひずみの場合)

$$\nabla^4 \phi = 0$$

$$\nabla^2 (1 - l^2 \nabla^2) \phi = 0$$

$$(l^2 \phi - \phi)|_\alpha = 2(1-\nu) l^2 \exp \nabla^2 \phi |^\beta$$

極座標における応力関数中、中、一般解

$$\phi = A_0 r^2 + B_0 \ln r + C_0 \theta$$

$$+ (A_1 r^3 + B_1 \frac{1}{r} + C_1 \ln r + D_1 r\theta) \cos \theta + (A'_1 r^3 + B'_1 \frac{1}{r} + C'_1 \ln r + D'_1 r\theta) \sin \theta \\ + \sum_{n=2}^{\infty} (A_n r^{n+2} + B_n r^n + C_n r^{-n+2} + D_n r^{-n}) \cos n\theta$$

$$+ \sum_{n=2}^{\infty} (A'_n r^{n+2} + B'_n r^n + C'_n r^{-n+2} + D'_n r^{-n}) \sin n\theta$$

$$\psi = P_0 \ln r + Q_0 \theta + R_0 I_0(\frac{r}{\epsilon}) + S_0 K_0(\frac{r}{\epsilon})$$

$$+ \sum_{n=1}^{\infty} (P_n r^n + Q_n r^{-n}) \cos n\theta + \sum_{n=1}^{\infty} (R_n I_n(\frac{r}{\epsilon}) + S_n K_n(\frac{r}{\epsilon})) \cos n\theta$$

$$+ \sum_{n=1}^{\infty} (P'_n r^n + Q'_n r^{-n}) \sin n\theta + \sum_{n=1}^{\infty} (R'_n I_n(\frac{r}{\epsilon}) + S'_n K_n(\frac{r}{\epsilon})) \sin n\theta$$

EEし、適合条件式 5 個と 1 個の間に応力関係がある。

$$P_0 = Q_0 = 0$$

$$P_n = -8(n+1)(1-\nu)l^2 A_n'$$

$$Q_n = -8(n-1)(1-\nu)l^2 C_n'$$

$$P_n' = 8(n+1)(1-\nu)l^2 A_n$$

$$Q_n' = 8(n-1)(1-\nu)l^2 C_n$$

応力は応力関数により次のようく表わされる。

$$\sigma_{\theta\theta} = \varepsilon_r^{\alpha\beta} \varepsilon^{\beta\delta} \phi |_{r\delta} + \varepsilon^{\alpha\delta} \phi |_{r\delta}$$

$$m_\alpha = \phi |_\alpha$$

### 3a. 円筒試体の応力状態

直徑方向に 2 方向から圧縮線荷重を受ける円筒試体の外周の境界条件を Fourier 級数  $p(\theta)$  で表わすと

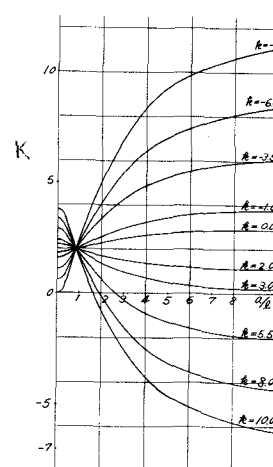
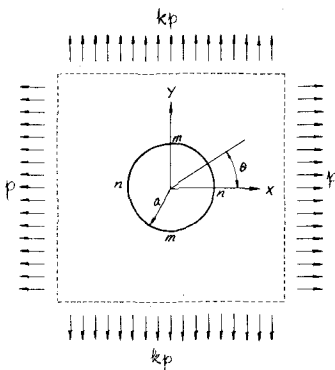
$$\text{外径上において } \sigma_r = p(\theta), \quad \tau_{r\theta} = \mu r = 0$$

$$\text{内径上において } \sigma_r = \tau_{r\theta} = \mu r = 0$$

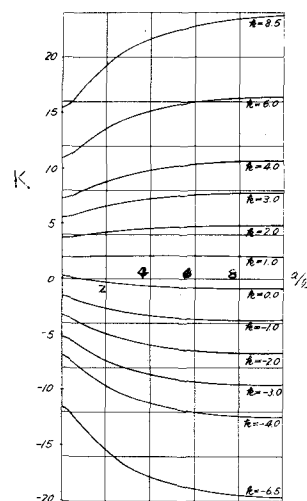
応力状態。対称性を考慮すれば、応力関数中、中の第 1 次項の未知係数は全部で 8 個となり。適合条件式 2 個と境界条件式 6 個より応力関数および応力が決定される。

### 3b. 円孔周辺の応力状態

Mindlin<sup>1)</sup>により 1 軸応力場における円孔周辺の応力状態の解が与えられている。これを 2 方向に重ね合わせることにより、2 軸応力場における応力状態を知ることができます。円孔周上に円周方向応力が極値を取る 2 点について、2 方向の応力の比を変化させたときの応力集中係数を図に示す。これにより、構造組織の大きさに直接関係あると考えられる材料定数  $k_p$  の大きさが応力集中に大きな影響を与えることがわかる。



$$\sigma_m = K_p$$



$$\sigma_n = K_p$$

文献 1) Mindlin, influence of couple-stress on stress concentrations. Exp. Mech.

3, 1-7 (Jan. 1963)